СЕЗОННОЕ АККУМУЛИРОВАНИЕ ПРИРОДНОГО ХОЛОДА

Ю.А. Зейгарник, О.С. Попель, В.Л. Низовский, Л.В. Низовский

Рассмотрены физико-технические аспекты искусственной генерации льда методом мелкодисперсного распыления воды в холодный воздух применительно к созданию сезонных аккумуляторов природного холода

Ключевые слова: холодильный коэффициент холодоснабжения, физические процессы замерзания распыленной жидкости, оптимальные параметры установки.

Холодильные нагрузки из года в год оказывают все большее влияние на энергетические балансы населенных пунктов, сельскохозяйственных комплексов и фермерских хозяйств, и поиск более эффективных путей обеспечения холодоснабжения является важной составляющей политики энергосбережения и повышения энергоэффективности экономики. Проблема кондиционирования воздуха рекреационном и жилищно-офисном секторах также стоит весьма остро в связи с ограниченностью мощности имеющихся электрических сетей особенно на юге страны.

В статье рассматриваются физикотехнические аспекты создания систем холодоснабжения на основе сезонного аккумулирования природного холода путем производства льда в зимнее время и сохранения его в теплоизолированном хранилище с постепенным расходованием накопленного «холода» в теплый период года. Данный подход имеет ряд потенциальных преимуществ по сравнению с традиционными системами холодоснабжения и по мере роста стоимости энергоресурсов находит все более широкое применение в различных странах.

Применяемые для холодоснабжения парокомпрессионные холодильные машины имеют относительно невысокий холодильный коэффициент, который при получении температуры холодоносителя на уровне +5...+10°С при температуре окружающей среды 20...30°С не превышает 2,5...3,5, что означает, что на 1 кВт затраченной электрической мощности на привод компрессора холодильной машины можно получить лишь 2,5...3,5 кВт холодильной мощности.

Предлагаемое техническое решение обеспечивает многократное снижение затрат электроэнергии на холодоснабжение потребителей. Идея состоит в искусственном производстве снега (льда) в холодные периоды

при температуре наружного воздуха ниже -5°C путем мелкодисперсного распыления воды в холодном воздухе. Замерзание воды в результате охлаждения капель малого размера за время нахождения их в холодном воздухе обеспечивает аккумулирование природного холода в количестве, пропорциональном массе намороженного льда. Полученный лед накапливается в теплоизолированном объеме (траншее, яме или специально созданном подземном или наземном резервуаре). Размеры аккумулятора холода выбираются исходя из годовой нагрузки по холодоснабжению потребителя с учетом неизбежных потерь холода через ограждения аккумулятора в течение года. Для «отбора» холода к потребителю внутри созданного описанным способом аккумулятора размещается теплообменник, по которому прокачивается холодоноситель (антифриз или вода). Как показывают оценки, холодильный коэффициент холодоснабжения такой системы, определяемый как отношение количества полученного «холода» к затратам электроэнергии на распыл воды, вентиляцию наружного воздуха при «генерации» льда и обеспечение подачи холодоносителя к потребителю, может достигать 30...50, т.е. быть на порядок больше, чем у парокомпрессионных холодильных машин.

ОЦЕНКА ПАРАМЕТРОВ СИСТЕМЫ

Приведенные ниже оценки выполнены для потребителя холода, расположенного в южных районах страны с небольшой (несколько сот часов) продолжительностью морозного периода с температурой наружного воздуха ниже –5...10°С.

Эффективный уровень наружной температуры для намораживания льда определяется необходимостью срабатывания некого минимального холодильного потенциала окружающего воздуха (возможным диапазоном

его подогрева), и по технико-экономическим соображениям равного минимум 2...3°С. Невысокие температурные напоры и малые времена намораживания определяют достаточно высокие расходы подаваемого охлаждающего воду наружного воздуха.

Намораживание льда осуществляется в результате распыла воды системой из большого числа форсунок в несущем охлаждающем воздухе, имеющем отрицательную температуру, и осаждением образующихся частиц льда сначала на ограждающих поверхностях накопителя, а затем путем организованного наращивания образующегося на стенках слоя льда. При правильно выбранных параметрах системы весь образовавшийся лед оказывается в накопителе, и лишь небольшой процент незамерзшей воды дренируется.

Соотношение расходов охлаждающего воздуха и замораживаемой воды определяется тепловым балансом

$$K = \frac{G_{_{\rm BO3Д}}}{G_{_{\rm BOД}}} = \frac{r_{_{\rm III}} + C_{_{p,{\rm BO3Д}}} \delta t_{_{\rm BO3}}}{C_{_{p,{\rm BO3Д}}} \Delta t_{_{\rm BO3Д}}} = \frac{r_{_{9\varphi}}}{C_{_{p,{\rm BO3Д}}} \Delta t_{_{\rm BO3Д}}}, (1)$$

где $r_{\text{пл}}$ — скрытая теплота плавления (замерзания) льда ~295 кДж/кг; $C_{p,\text{вод}}$ и $C_{p,\text{возд}}$ — теплоемкости воды и воздуха; $\delta t_{\text{вод}}$ — превышение распыляемой водой температуры замерзания; $\Delta t_{\text{возд}}$ — глубина охлаждения несущего охлаждающего воздуха.

При типичных $\Delta t_{\rm возд}$ = 3...5°C (подогрев воздуха от минус 5...7°C до минус 2°C) и $\delta t_{\rm вод}$ ≈ 10°C величина K = 110...65, т.е. для замораживания 1 г воды, имеющей температуру 10°C, необходимо ~ 0,085...0,06 м³ воздуха. Это опорные цифры для расчета намораживания льда в аккумуляторе. Работа с меньшим расходом воздуха не позволит наморозить нужное количество льда и оставит незамерзшую воду, которую придется отводить, а подача излишнего воздуха приведет к перерасходу энергии на его прокачку и увеличит длину пути намораживания (длину пролета капли до полного замерзания).

ФИЗИЧЕСКИЕ ПРОЦЕССЫ, СОПРОВОЖДАЮЩИЕ ЗАМЕРЗАНИЕ РАСПЫЛЕННОЙ ЖИДКОСТИ

Физическое тепло перегрева капли относительно температуры насыщения (точки замерзания) и скрытая теплота плавления (замерзания) транспортируются по капле к ее свободной поверхности, где передаются конвекцией к несущему каплю воздуху. Соотно-ПОЛЗУНОВСКИЙ ВЕСТНИК № 4 2012

шение интенсивностей этих двух процессов (теплопроводности по капле и теплоотдачи к воздуху) определяется числом Био [1]:

$$Bi = \frac{\alpha r_{K}}{\lambda_{POU}},$$
 (2)

где α — коэффициент теплоотдачи к воздуху; $\lambda_{\text{вод}}$ — теплопроводность воды; $r_{\text{к}}$ — радиус каппи

Распыляемые форсунками мелкие капли в силу своей малой инерционности достаточно быстро (на 100...200 мм пути) приобретают скорость, близкую к скорости несущего воздуха, при этом формула Ранца-Маршалла, описывающая теплоотдачу к капле.

$$Nu_d = 2 + 0.6Re_{d_x}^{1/2}Pr_{BO3,I}^{1/3},$$
 (3)

где
$$Nu_d = \frac{\alpha d_{\kappa}}{\lambda_{\text{возл}}}$$
 — число Нуссельта

$$(\mathrm{Re}_{_d} = rac{w_{_{\mathrm{OTH}}} d_{_{\mathrm{K}}}}{v_{_{_{\mathrm{BO3J}}}}}$$
 — число Рейнольдса, рас-

считанное по относительной скорости капли в потоке воздуха $w_{\text{отн}}$; $v_{\text{возд}}$ — кинематическая вязкость воздуха; $d_{\text{к}}$ — диаметр капли) принимает предельное значение

$$Nu_d = 2,$$
 (3a)

и соответственно число Ві будет равно

$$\mathrm{Bi} \cong rac{\lambda_{_{\mathrm{BOJ}}}}{\lambda_{_{\mathrm{BOJ}}}} pprox 0.05 \,.$$

Это означает, что теплообмен капли с охлаждающим ее воздухом определяется теплоотдачей к воздуху и интенсифицируется

при уменьшении диаметра капли
$$\left(\alpha \sim \frac{1}{d_{\scriptscriptstyle \mathrm{K}}} \right)$$
.

Заметим, что реально в рассматриваемом случае мы имеем дело с так называемой задачей Стефана, когда в объеме капли существует перемещающийся фронт замерзания и происходит локализованное внутреннее выделение тепла. Это вносит определенные коррективы в оценки числа Био, но принципиальный вывод об определяющем влиянии конвективной теплоотдачи со свободной поверхности капли в суммарный теплообмен остается в силе.

Оценка времени замерзания воды. Приближенную оценку времени замерзания капли τ_{max} можно провести, исходя из теплового баланса, считая, что интенсивность теплоотдачи определяется формулой (3a)

$$\tau_{\text{max}} = \frac{r_{\text{эф}} \rho_{\text{вод}}}{12 \lambda_{\text{вод}}} \frac{d_{\text{K}}^2}{\Delta t}, \tag{4}$$

где $\overline{\Delta t}$ — средняя по времени процесса замерзания разность температур между точкой замерзания капли и окружающим воздухом.

В табл. 1 приведены оценки $\tau_{\rm max}$ в миллисекундах в функции $d_{\rm K}$ и $\overline{\Delta t}$ ($\lambda_{\rm BO3Д}=2,5\cdot 10^{-2}$ Вт/(м·К), $r_{\rm 3\Phi}=340$ кДж/кг, $\rho_{\rm BOД}=10^3$ кг/м³).

Таблица 1- Времена замерзания капель (мс)

$\overline{\Delta t}$,	d _к , мкм						
$^{\circ}C$	10	20	50	100	200		
10	11	44	275	1100	4400		
5	22	88	550	2200	8800		
3	37	146	915	3700	14600		

Видно, что время замерзания капель диаметром менее 50 мкм не превышает 1 с даже при малых разностях температур $(\overline{\Delta t}$ =3°C) между охлаждающим воздухом и точкой замерзания. Тем не менее, длина пути замерзания оказывается не столь малой, ее характерные значения приводятся в табл. 2 в функции скорости несущего воздуха.

Таблица 2. – Длина пути замерзания капель (м) $(\overline{\Delta t} = 5^{\circ}\text{C})$

(\(\sigma \)									
W,	d _к , мкм								
м/с	10	20	50	100	200				
1	0,022	0,088	0,55	2,2	8,8				
2	0,044	0,176	1,10	4,4	17,6				
5	0,110	0,440	2,75	11,0	44,0				
10	0,220	0,880	5,50	22,0	88,0				

При больших скоростях несущего потока охлаждающего воздуха длина пути замерзания крупных капель оказывается значительной, а при скоростях воздуха более 7...10 м/с даже чрезмерной (заметим, кстати, что ветер скоростью около 10 м/с со снегом относится к категории слабой метели). Это ограничивает «свободу маневра» при выборе рабочих параметров системы намораживания. Из данных табл. 1 и 2 видно, что практически область рациональных размеров замораживаемых капель ограничивается диаметром капель примерно 50 мкм. Для сравнения укажем, что типичный размер природных снежинок лежит в пределах от 0,5 (мелкозернистый снег) до более чем 2 мм (крупнозернистый снег), т.е. на порядки величины больше при существенно меньшей насыпной плотности.

Расчет некоторых из режимов, представленных в табл. 1 и 2, показал хорошее согласие с оценками по соотношению (4).

На установке «Распыл» ОИВТ РАН было осуществлено температурное зондирование факела распыла воды в потоке холодного воздуха [$t_{возд} = -(7...8)^{\circ}$ С] с помощью термопарых зондов. Температурное зондирование потока позволило с приемлемой точностью очертить границы зоны, где жидкая фаза претерпевает фазовые переходы.

Дисперсионные характеристики фа**кела распыла.** Выше говорилось, что время замерзания капель воды в первую очередь определяется их диаметром. Для нахождения размеров капель, достигаемых при распыле воды форсунками разных типоразмера и производительности на стенде «Распыл» ОИВТ РАН были выполнены специальные эксперименты с форсунками с диаметром сопла 0,20; 0,65; 2,0 мм. При давлении на входе в форсунку 8 МПа эти сопла обеспечивали расход воды 2,7; 9,8 и 32 г/с соответственно. Дисперсионный состав факелов распыла определялся по специально разработанной методике путем измерения индикатрисы рассеяния диагностирующего монохроматического лазерного луча в широком диапазоне углов измерения (модифицированный метод малых углов [2]). На рис. 2 приведено типичное распределение капель воды по размерам (радиусу в мкм) для центробежной форсунки с диаметром сопла 2 мм. Аналогичные распределения были получены для форсунок другого размера. На этом же рисунке представлены кривые, дающие суммарную объемную долю капель размера от нуля до текущего радиуса r_i для трех типов форсунок.

Видно, что центробежные форсунки всех рассмотренных размеров обеспечивают приемлемо тонкий для наших целей распыл воды. Максимальный диаметр капель не превышает 25 мкм ($d_{\kappa} < 50$ мкм). Видно также, что форсунки с более высоким расходом, имеющие больший диаметр сопла, дают несколько больший размер капель. В дополнение к стендовым измерениям размеров капель, масштабов скорости и длины намерзания были проведены серии «натурных» испытаний форсунок в потоках воздуха разной температуры и скорости. Опыты проводились при прокачке холодного воздуха вентилятором через прямоугольный канал размером 500×500 мм и длиной 4,0 м, круглый канал диаметром 300 мм, а также в свободном пространстве.

СЕЗОННОЕ АККУМУЛИРОВАНИЕ ПРИРОДНОГО ХОЛОДА

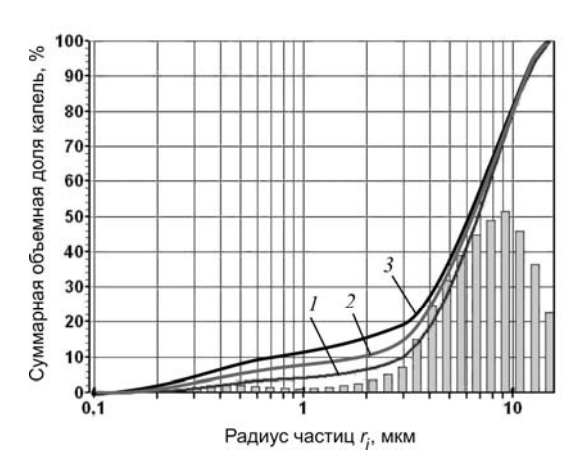


Рисунок 2 — Типичное распределение капель по размерам для центробежной форсунки dcoпла = 2 мм (расход воды G = 32 г/с) на расстоянии от среза сопла форсунки 100 мм при давлении воды перед форсункой 8 МПа и температуре воды 25°С. 1 — суммарная доля капель размером менее текущего радиуса г_і для форсунки с d_{conna} = 2 мм; 2 — то же для

 $d_{conna} = 0,65$ мм (G = 9,8 г/с); 3 — то же для $d_{conna} = 0,2$ мм (G = 2,7 г/с)

Воздушно-капельный поток направлялся внутрь канала вдоль его оси. Вентилятор с форсункой устанавливались в начале канала. На выходе из канала был установлен отбойный щиток, моделирующий намораживаемую стенку. Использовалась центробежная форсунка производства ММПП «Салют»; давление воды перед форсункой 1,5-2,0 МПа; расход воды 4,4 г/с. Вентилятор обеспечивал номинальную производительность 500 м 3 /ч (0,14 м 3 /с или ~0,18 кг/с). Отношение массовых расходов воздуха и воды: $K \cong 41$.

В ходе эксперимента при помощи термоанемометра проводилось измерение скорости воздушного потока в канале, а с помощью термометров сопротивления термометрирование потока. В конце каждого эксперимента измерялось количество намороженного в канале льда. Результаты экспериментов приведены в таблице.

	l1 i	'			
Попомото	Дата				
Параметр	06.02.2012	07.02.2012	15.02.2012		
Температура воздуха, °С	-12	-11	-6,5		
Температура воздуха на выходе из канала, °C					
Давление воды, атм	15-20	15-20	14-18		
Продолжительность опыта, мин	66	66	70		
Расход воды, л	17,5	17,5	17,5		
Удельный расход воды, г/с	4,4	4,4	4,4		
Уловлено в виде льда, л	14,8	15	*		
Унос, л	2,7	2,5	*		
Скорость воздушного потока, м/с	0,8-1,0	0,8-1,0	0,8-1,0		

^{*} В ходе данного эксперимента, проводившегося при недостаточно низкой температуре окружающей среды, в нижней части канала собралось большое количество незамерзшей воды, в связи с чем произвести измерение количества образовавшегося льда не представлялось возможным.

Обращает на себя внимание приемлемый баланс введенной жидкости и намороженного льда при температурах окружающей среды минус 11...12°С. При температуре окружающей среды —6,5°С намораживание льда происходит менее интенсивно.

На фотографии рис. З виден сформировавшийся туман из мелких частиц льда. Вид образующегося льда на отбойном щитке на выходе из канала показан на рис. 4, а на рис. 5 видно равномерное нарастание слоя льда на стенках канала. Более монолитный характер этого слоя льда связан с частичным попаданием на стенки капель воды, которые затем замораживаются обтекающим их потоком.



Рисунок 3 – Фотография образующегося тумана из мелких частиц льда

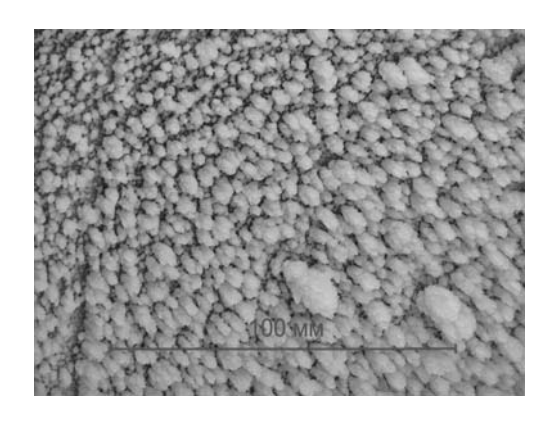


Рисунок 4 – Вид образующихся частиц льда на отбойном щитке на выходе из канала



Рисунок 5 – Нарастание слоя льда на стенках канала

Таким образом, и эксперименты, и расчеты показывают реальность интенсивного направленного намораживания льда при распыле воды на капли диаметром менее 50 мкм в принудительном потоке холодного воздуха с температурой минус (4-5)°С и ниже.

Отвельные вопросы организации процесса намораживания. Выполним некоторые предварительные оценки. Рассмотрим аккумулятор холода, содержащий 10³ т льда, который требуется наморозить за 10 суток. Это значит, что скорость намораживания должна составить ∼4 т/ч или 1,1 кг/с.

Примем, что площадь намораживания, обдуваемая воздушно-капельным потоком, $3\times3 = 9 \text{ m}^2$. Тогда удельная скорость намораживания составит ~120 г/(м²-с).

При соотношении массовых расходов распыляемой воды и охлаждающего воздуха K=100, что соответствует подогреву воздушного потока от минус 5°C на ~3°C, необходимый объемный расход воздуха составит $120\times100:1,3=9,4$ м 3 /(м 2 стенки·с) или скорость воздушного потока будет 9,4 м/с, длина пути замерзания (см. табл. 1 и 2) составит около 8 м. По-видимому, более приемлемой будет рабочая площадь, обдуваемая системой намораживания, в ~15 м 2 со снижением

скорости обдува до \sim 5,0 м/с (напомним, что ветер со снегом, имеющий скорость 10 м/с, уже относится к слабой метели).

Специально остановимся на следующем важном технологическом вопросе.

Распыл воды с получением капель диаметром до 50 мкм неизбежно ведет к "шнурованию" факела распыла воды, которое при скоростях воздуха 5...10 м/с, обусловленных необходимостью обеспечения должной производительности намораживающей установки, оказывается достаточно существенным.

"Шнурование" означает, что несмотря на достаточно большой (90...120°) угол раскрытия у среза сопла капли следуют за потоком воздуха, обтекая преграды при слабо интенсивном осаждении на горизонтальные поверхности, что наблюдалось в проведенных в ОИВТ РАН экспериментах. Причем это касается также наиболее крупных капель диаметром 50...100 мкм, в том числе и при распыле воды блоком форсунок большой производительности.

Тем самым, нужно соблюдать оптимальное расстояние между форсунками, обеспечивающее заполнение воздушного потока, обдувающего намораживаемую поверхность, факелами капель.

выводы

- 1. Для обеспечения достаточной скорости замерзания капель воды и приемлемо коротких длин пути замораживания необходимо получать на выходе из форсунки капли диаметром менее 50 мкм.
- 2. Центробежные форсунки с диаметром сопла до 2...3 мм позволяют получить капли требуемого размера.
- 3. Расходы воздуха, необходимые для обеспечения замерзания 1 г воды, составляют 0,060-0,085 м³ при температуре наружного воздуха минус 5...7°С. С понижением температуры окружающей среды потребные расходы воздуха снижаются.
- 4. Для достижения приемлемой длины пути замерзания в несколько метров целесообразно ограничивать скорость несущего потока холодного воздуха 5 м/с. При этом также сохраняются приемлемая удельная интенсивность намораживания льда в 70...80 г/(m^2 ·c) или ~250 мм/ч.
- 5. Во время эксплуатации системы намораживания льда необходимо поддерживать зависящее от наружной температуры оптимальное соотношение «воздух—вода».
- 6. Существует оптимальный шаг компоновки форсунок системы распыла, учиты-

СЕЗОННОЕ АККУМУЛИРОВАНИЕ ПРИРОДНОГО ХОЛОДА

вающий как производительность системы, так и эффект "шнурования" потока мелких капель.

СПИСОК ЛИТЕРАТУРЫ

- 1. А.В. Лыков. Теория теплопроводности. М.: Высшая школа, 1967. 597 с.
- 2. Л.А. Домбровский, В.И. Залкинд, Ю.А. Зейгарник, Д.В. Мариничев, В.Л. Низовский, А.А. Оксман, К.А. Ходаков. Распыление перегретой воды: результаты экспериментальных исследований // Теплоэнергетика. 2009. № 3. С. 12-20.

Зейгарник Юрий Альбертович¹, д.т.н., зав. отделом

Попель Олег Сергеевич¹, д.т.н., зав. лабораторией, E-mail: o popel@mail.ru

Низовский Владимир Львович,¹к.ф.-м.н., ст. научный сотрудник

Низовский Лев Владимирович,¹ вед. Инженер-программист

[†] ФГБУН Объединенный институт высоких температур РАН, Москва

Работа выполнена при финансовой поддержке Министерства образования и науки РФ (госконтракт №16.516.11.6043).